

Автор благодарен И. Л. Дричко и А. М. Дьяконову за постоянную поддержку и всестороннюю помощь в работе, А. К. Таганцеву и В. И. Козубу за плодотворные обсуждения результатов.

Список литературы

- [1] Гутфельд Р. // Физическая акустика. Т. V / Под ред. У. Мэзона. М.: Мир, 1973. С. 267—329.
- [2] Иванов С. Н., Хазанов Е. Н., Таранов А. В. // ФТТ. 1987. Т. 29. № 3. С. 672—677.
- [3] Иванов С. Н., Хазанов Е. Н., Таранов А. В. // ЖЭТФ. 1985. Т. 89. № 5 (11). С. 1824—1829.
- [4] Levinson Y. B. // Nonequilibrium phonons in nonmetallic crystals / Ed. W. Eisenmenger, Kaplyanskii. 1986. Р. 91—143.
- [5] Суслов А. В., Таганцев А. К. // ФТТ. Наст. вып. С.
- [6] Lawless W. N. // Phys. Rev. B. 1977. V. 16. N 1. P. 433—439.
- [7] Salce B. et al. // Proc. II Int. Conf. Phonon Physics / Ed. J. Kollar. 1985. P. 979—981.
- [8] Salce B., De Goer A. M., Boatner L. A. // J. de Phys. 1981. Coll. C6. Supp. N 12. P. 424—426.

Физико-технический институт
им. А. Ф. Иоффе РАН
Санкт-Петербург

Поступило в Редакцию
1 сентября 1991 г.

УД 537.226

© Физика твердого тела, том 34, № 1, 1992
Solid State Physics, vol. 34, N 1, 1992

ФОТОПРОВОДИМОСТЬ ТЕЛЛУРИТА ВИСМУТА

О. Ф. Дубинская, А. Ю. Кудзин, Л. Я. Садовская,
Г. Х. Соколянский

Теллурит висмута Bi_2TeO_5 привлекает внимание как сегнетоэлектрический материал с высокой температурой Кюри. Сравнительно большое значение ширины запрещенной зоны $E_g \geq 3.5$ эВ и наличие плеча оптического поглощения вблизи края поглощения, простирающегося до $h\nu \approx 1.5$ эВ [1], могут служить основанием для предположения о существовании в Bi_2TeO_5 примесной фотопроводимости, как это имеет место в силикате и германате висмута. Пироэлектрические фотопроводящие кристаллы представляют особый интерес. В данной работе были проведены исследования фотопроводимости кристаллов Bi_2TeO_5 .

Исследования выполнены на оптически однородных образцах желтоватой окраски, выращенных методом Чохральского. Использовались плоскопараллельные пластины толщиной 1 мм, ориентированные по главным кристаллографическим осям, и In—Ga электроды. Измерения проводимости осуществлялись в диапазоне температур 20—200 °C, напряжений 0—1000 В. Величина фототока J_ϕ определялась как разность между стационарными значениями «светового» тока J_c (тока в присутствии освещения) и «темнового» J_e . Напряжение, подаваемое на образец, соответствовало омическому участку ВАХ J_r . Спектр пропускания Bi_2TeO_5 получен на спектрофотометре Specord M40 на образце толщиной 5 мм. Используя данные работы [1] по показателю преломления и учитывая отражение, мы определили коэффициент поглощения α в зависимости от энергии фотонов.

Спектральная зависимость фототока J_ϕ кристалла Bi_2TeO_5 приведена на рис. 1. После предварительного прогрева образца до 300 °C в длинноволновой области J_ϕ обнаруживается с $h\nu \geq 2.6$ эВ (рис. 1, 1). Обратный ход $J_\phi(h\nu)$

идет выше прямого и продолжается вплоть до $h\nu \approx 1.5$ эВ (рис. 1, 2). В интервале энергий $1.5 \text{ эВ} \leq h\nu \leq 2.6 \text{ эВ}$ спектр J_ϕ по характеру довольно хорошо согласуется со спектральной зависимостью коэффициента поглощения α (рис. 1, 3). Таким образом, кристалл становится фоточувствительным в длинноволновой части спектра после облучения образца коротковолновым светом, т. е. в Bi_2TeO_5 имеет место инициированная примесная фотопроводимость (ИПФ). Это явление связано с тем, что коротковолновое «собственное» возбуждение в результате процессов захвата носителей приводит к заполнению до этого пустых примесных центров и, следовательно, к появлению ИПФ. Анало-

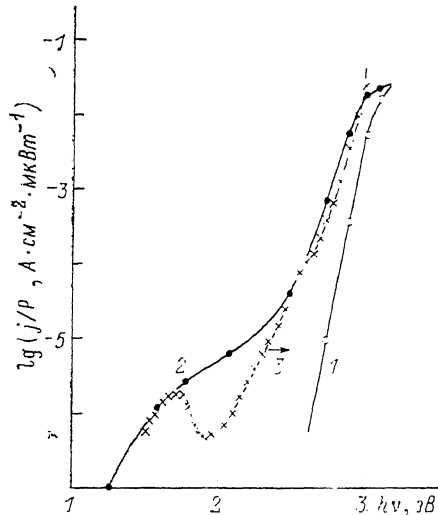


Рис. 1. Спектральные зависимости фототока (1 — прямой ход, 2 — обратный ход) и коэффициента поглощения α (3) кристалла Bi_2TeO_5 .

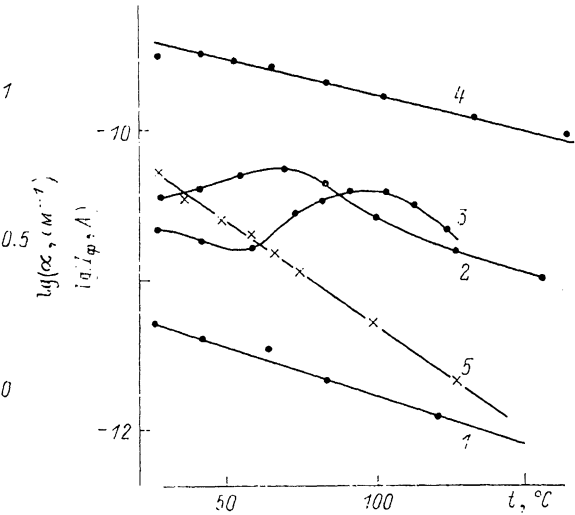


Рис. 2. Температурные зависимости фототока I_ϕ кристалла Bi_2TeO_5 при длинах волн освещения, равных 325 (1), 360 (2), 375 (3), 410 (4), 720 нм (5).

тичное явление наблюдается в ряде полупроводников (CdSe , CdTe и др. [2]). В кристаллах Bi_2TeO_5 состояние с ИПФ сохраняется при комнатной температуре в течение длительного времени. Заметно ослабить ИПФ можно длительным освещением образца интенсивным красным светом, полностью избавиться — путем прогрева до температур $T \geq 300^\circ\text{C}$.

Кинетика $J_\phi(t)$ для всех $h\nu$ длинновременная. Время установления стационарного значения J_ϕ достигает 20 мин и более. Исходя из характера кинетики, весь спектр можно разбить на 4 участка.

1) $h\nu \approx 3.8$ эВ. Кинетика нарастающая, времена установления стационарного фототока относительно малые (1—2 мин). Этот участок соответствует, вероятно, переходам зона—зона (собственная фотопроводимость). 2) $3.3 \text{ эВ} \leq h\nu \leq 3.5 \text{ эВ}$ (соответствует проявляющейся на спектре поглощения области внутрицентровых переходов [1]). После первоначального резкого всплеска J_ϕ происходит довольно быстрое спадание, а затем более медленное установление стационарного значения. 3) $2.9 \text{ эВ} \leq h\nu \leq 3.15 \text{ эВ}$ (соответствует полосе фоточувствительного примесного поглощения). Наблюдается первоначальный резкий всплеск J_ϕ , затем быстрый спад и последующее довольно медленное нарастание. 4) $h\nu \leq 2.75 \text{ эВ}$. В области ИПФ наблюдается медленно спадающая кинетика фототока. Здесь стационарное значение не достигается и за 20 мин.

В соответствии с характером кинетики J_ϕ были изучены люкс-амперные характеристики (ЛАХ) фототока на различных длинах волн освещения кри-

сталла. Предварительно образец переводился в состояние с ИПФ путем длительной засветки коротковолновым светом. Установлено, что ЛАХ для $\lambda=325$ и $\lambda=360$ нм соответствуют квадратичной рекомбинации ($J_\phi \sim I^{0.5}$, I — интенсивность излучения). Прямой и обратный ход ЛАХ совпадают. На $\lambda=410$ нм $J_\phi \sim I$ (линейная рекомбинация). При $\lambda=700$ нм (область ИПФ) ЛАХ не укладывается в типичные зависимости. На прямом ходе ЛАХ $J_\phi \sim I^{0.3}$, на обратном $J_\phi \sim I$. При этом на обратном ходе ЛАХ величина J_ϕ значительно меньше, чем на прямом. Вероятно, такой характер ЛАХ связан с освобождением ловушек, захвативших носители заряда при переводе образца в состояние ИПФ, что согласуется с упомянутой выше возможностью уменьшения индуцированной фоточувствительности длительным освещением красным светом.

Температурные зависимости $J_\phi(T)$ приведены на рис. 2. Перед получением каждой $J_\phi(T)$ образец переводился в состояние с ИПФ. Как видно из рис. 2, общей тенденцией является уменьшение J_ϕ с ростом температуры, т. е. в кристаллах Bi_2TeO_5 наблюдается температурное гашение фоточувствительности, которое обычно происходит за счет сдвига квазиуровней Ферми к середине запрещенной зоны, в результате чего очистившиеся уровни снова превращаются в уровни прилипания [3]. Для $\lambda=360$ и $\lambda=375$ нм (рис. 2, кривые 2, 3) наблюдался максимум фототока, природа которого не ясна.

Список литературы

- [1] Кучка В. В., Хомич А. В., Кравченко В. Б., Перов П. И. // Изв. АН СССР, неорг. матер. 1984. Т. 20. № 2. С. 314—317.
- [2] Рыбкин С. М. Фотоэлектрические явления в полупроводниках. М., 1963. 494 с.
- [3] Роуз А. Основы теории фотопроводимости. М., 1966. 192 с.

Днепропетровский
государственный университет

Поступило в Редакцию
5 августа 1991 г.

УДК 537.226

© Физика твердого тела, том 34, № 1, 1992
Solid State Physics, vol. 34, N 1, 1992

ЭЛЕКТРОННОЕ СТРОЕНИЕ АЗИДОВ СО СТРУКТУРОЙ KN_3

А. Б. Гордиенко, Ю. Н. Журавлев, А. С. Поплавной

Азиды металлов принято характеризовать [1] как следующую ступень сложности после ионных бинарных соединений, обусловленную особенностями анионной подрешетки, построенной из молекул N_3^- .

Азиды металлов интересны своей нестабильностью по отношению к внешним воздействиям: теплу, свету, излучению и т. д., под действием которых они разлагаются с образованием азота и выделением значительной энергии. Эти свойства позволяют использовать их для получения химически чистого азота, а также в качестве инициирующих взрывчатых веществ и компонент горючих смесей. Причину такого поведения следует искать в особенностях электронного строения. До настоящего времени, за исключением [2, 3], последовательных расчетов зон не проводилось, а оценки в основном делаются на основе квантово-химических вычислений.

В данной работе приводятся результаты самосогласованных расчетов электронной структуры, впервые выполненные для ряда MeN_3 , где $\text{Me}=\text{K}$, Rb , Cs .